



## Estimating the amount of erosion and sedimentation in Zimkan watershed basin in Kermanshah province with an emphasis on influencing variables

Shahram Roostaei<sup>a\*</sup>, Seyyed Asadullah Hijazi<sup>b</sup>, Hedieh Shirzadi<sup>c</sup>

<sup>a</sup> TTTT SSSSSS SS SSSSS sggggggg eerrr eee tt ll lllllll ee aaaayyy, Tarr ie eeeee eeee Tr rr zzzran

<sup>b</sup> Associate Professor in Geomorphology, Department of Physical Geography, Tabriz University, Tabriz, Iran

<sup>c</sup> DDDDe ee eee hhyyyyyDr rrrr eee tt PP Ryccdl ee aaaayyy, TbbUUUUHr tttt, Tbbnnnn nnnn

nnnn II Inoo

aaaaaaaaaa

**Article history**

Received : 11 December 2022

Received in revised form :

31 January 2023

Accepted: 24 February 2023

Available online :

21 March 2023

**Keywords:**

nnnnnn rrrrrr rrrr  
„ „ oo oooooo  
ddd ggggg gPM  
oooannnnoeettt lll  
hhhhdd,, CCCCCC  
CCGi dddddd,,  
iiii ee tt yddd  
ddddd dddSSS-ddddd  
ddessee tt

Sii l oooooo is nne ff hle tttt tttt bbbbssss hltt sss ffeeeeee  
uuua n eeee eeeeett rrrr .. hhe yee ddd nnyyyyyyff llll oooooo nna  
ooooo pppnnd nn aaaaaaaaannmii iinn,, uuuuuuuu llll , ddd dddd....  
hhhhh hhhhl e ooooeeeeee dddddee ss rr eeeeer hhnn tt rrrr rrrrrr r  
uee ootee ffeeeeeeee ff uuaa ss nnnrfuunnnnn ... nnhlss eeee,,,  
oommmmmhle mmuutt ff oooooo ddd oooooooooooooonnhle nnnnnn  
ssssss sss , we dddooo moooq,, PP CCCCCC(MMM)ccch ff cccc h  
uuuuuuuuui ee ssssss ssooooyy, oo,, iii aa,,, tt r oow, oooooooow  
gggnnnnnmdddd,,, „ „ oo,, ddd vvr ooooooo ddd oar sssssss  
ooooooooddddddlddddssss vvvyydssss vvvyydssss vvvyydssss vvvyydssss  
yyyyyyyyyyh,,, SSSSSS SSSSSSSSld ttt nrll -2 eeeeeeeeeeerr  
ssssss s eee ddddnnhle EIII .. 3 vvvrmnee tt oorr eeee eee eeeee  
..... .. e rsssss sss ee d hltt hle oooooo uuuuss nn hle PP AA&  
ddd MMM ddd sss rrr e .. , 9 nnd .. , 2 tnns rrr rrrr ,  
yyyyyyyyyyd hle auuu tt s ff stttttt ttt e .. , 665555 ddd  
,, .. 22 tnns rrr rrrr , sssvvvvvvh. oooooo sssss sss tttttt t  
ff hle nnnnnddddbbyyyyin sssss ss llll l,,, „ „ nntttt llll lll ii ooo  
hhe ii hhtt mnyyyyyyff oooooo ddd ttttttt t oauunnnnaa s  
bbddddd dd hle uutttt tt ooos ff hle nnnnn tt ss yyyyyyyyyoo  
tttttttt t ttttttt t dd rr tt nnnnnnnnssssss ss tee rrrr rrrr  
..... .. sss oooooond aat hle ssssss ss hle PP II CC ee hlld eee  
rrrrr rr hle lllll lll oooooooonnhle nnnnhlnn eeee ee hle MMM  
ee hlld.

.. rrrr oooonnnng rrrrrr r r rS \$hhmmmo iiii

E-aa dd dddssso oiii i i uuuuuuuuuuu

**How to cite this article:** RaaaaaaS SSS \$zz,, „ „ ,j.jjj jjj ... 000EEEEHHHi gg eee annnn t ff  
oodi dd ddd ddiiiiiiii ii i i kk an tt hiiiiii i i iiii iii ooo oooocew wth an emiiii i ii  
iiii i nnnn aaraa.... Journal of Geography and Environmental Hazards, 14(), ... 110-226.  
DII : //rrrr rrrr rrrr gge00000@0011111111



55555 555 uut((( s.. Tsss ss ss sn ccesss ccccccdttbbt dd nnnaa aaaaace mnssss  
ssssssssss s ss nnnnndll ccceeee eee e e 4.))

## Extended Abstract

## Introduction

hh e mmuut ff oooooo nn a ssssss sss nnn ee eeee dddd ff heee eee fff tttttt ttttt t ff ii rrrrr rr ddd tttttt ttt tt pppyyigg llllllllll llll dd.. rrrrrr r nnaa yy aassss ssssss see uuuttyy heee eee oo ssss rr mssss ss sii l oooooo ddd tttttt tt ddcc oog hhhh uuuussss sse eee ff pppeeeeeell moooos oommml llll ooooooo To eeeeeeee eee mmuut ff tttttt tt d oooooo nn a oooooo heee eee aa yy moooos,, nnuuii gg hle ddd dddd ll bll uunnnnnnff llll ooooooohh ss ddd ll ss a tttt eeee ee hhdd oor cnnnnnnnnlll ll ees eeeeeeee eee ssssss sss w oo nnnntttttt tt fmmmmmmmmmmaaaa aaaai i n hli iiiii ii .

## Material and Methods

hh e nnnnnn rr nnnnnn rvrr nnnnnss oœeed nn tee ooohhhff oooooo yyyy-yyyy hœ ss t of  
nnnnnn nnnn rr vvv.. eee rr ggggg aannnniff hœ ss nnnnnss ttt aggll rr hh hh nn aaaa ff „ 224  
uuueee ii oœe ssss sss ooœs ooœn hœ suuhhsst ooeee ooohhœ .. hh ss nnnnmmb bœuddd dddd hœ  
sss t yy hœ Pnnnnmnnnnndd ooœn hœ ooohhhy hœ ooohht Tggg nnnnraadd hœ aaaa avvr nnnnnœhœ  
nnnnnss oœaddt tt hœ eegghhhœlœlœ looddrssss ff 66" 00" oo 6611"""" ssst oggiuœe ddd  
44555"""" "o 4422266" hh hh ..... .. e ccccccc ss nnnndddddd dddœ too ddd sss or  
ooooooooooœoddd hœ ee hœoooooooœoooo oooooo ddd dddœboœ oœudd ddd dddœt dddddd  
**EPM Model**

EPM Model

MPSIAC Model

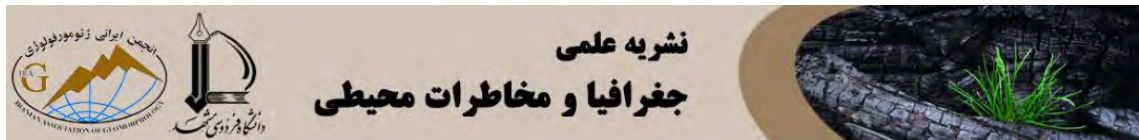
The PSIAC method was presetted in 1968 by the Water Management Committee in the United States for calculating the intensity of soil erosion and sediment production in arid and semi-arid areas. This method was modified in 1982. In Iran, this model was implemented for the first time in 1973 in the Dez Dam watershed, and it evaluates nine factors to calculate erosion and sediment production. Each of these factors has been examined from both quantitative and qualitative perspectives, with five qualitative grades and quantitative scores ranging from -10 to +25.

## Results and Discussion

hh ss eeehhhhs ss nnnuuudddddhd hle ammff mmmmmng tee oooooo ddd ooooooooooooooff eee  
dddy aaaa nnngg MMMDd PP CCCCCCssss sss nnnnnnnm hle sssssssssss llllll ll ammmmtt.  
To rr eeett eee „„„„ „„ e nnll ssssss s eee aadddddhd nroaaa oo ss cccccccc oo on hlm  
yy rr nnnnnn hlu uuuuuuuu ss ood lll l lllll l h hrrr oooss aaaa nnn yyyyng hlb bbeeee  
nroaaa oo lppppppp ppppooooooouuss eeee prrrrr r..

### Conclusion

eee ff feen nre eeeeeee e eee cll ttttt tt lll ees ff tee nnlllll eeeeeee ee ooo nnss yy tee MCCCCCCCCCld is  
lllll l Tss s in cnrrttt ootee MMMnllll , hh eee ssss ffffnnnre ss aar,,, mmmttttt tt g eee ccrr ccy ff  
SSS SSSSSC iiiii i i eiiiiii gg eee mmuuuee ee eeeee ...  
iiiiii ii ll yy tee lww eodii nn ll sss crrrr s tee aarrrr aaaa ff eee aa,,, aiuiiiii ii frr ttttt ttt ff eee  
lllll ,,, , eeee eee hhhh hdd ee mmmmmnnnnnnnssss svver rrrr ly tee eeee e.... .... ... ellllll lll  
ddd@t ss tttt tt uuuyy aaaa ss rr eaaaaaa aaaaffftt dd yy rr ss oo. ii yyyyeeeppiii cccadd nnllll mmmmmmm  
ssssss ss eee aaaa a tt hhtttt tt ceeee@ yy eee MMMhnd SSS ICC ssssss swwwtttt tt iiii tttt  
rrrrrrrr r iiii o add sccccccar iii nn tt tt ss in tsss nnnnnfffffr ii nnlllllll l tt nn nn re two llllll ll aa eed  
nn ,,, , eee EPM lllll lll ddddrrrrr tt tt ss frr ooth aarrrrrrr rr Tr rr e,,, , tt aan ee cnll dded aat  
SSS SSSSSC iiiii i i i eee iiiii sssss ss ss@ ott uuss eee eeeeer orlll tty.



## برآورد میزان فرسایش و رسوب حوضه آبریز زیمکان در استان کرمانشاه با تأکید

### بر متغیرهای تاثیرگذار

شهرام رostayi<sup>۱\*</sup>, سید اسدالله حجازی<sup>۲</sup>, هدیه شیرزادی<sup>۳</sup>

<sup>۱</sup>استاد گروه ژئومورفولوژی، دانشگاه تبریز، تبریز، ایران

<sup>۲</sup>دانشیار گروه ژئومورفولوژی، دانشگاه تبریز، تبریز، ایران

<sup>۳</sup>دانش آموخته دکتری ژئومورفولوژی، دانشگاه تبریز، تبریز، ایران

### اطلاعات مقاله

|              |  |
|--------------|--|
| چکیده        | تاریخچه مقاله<br>تاریخ دریافت: ۱۴۰۱/۰۹/۲۰<br>تاریخ بازنگری: ۱۴۰۱/۱۱/۱۱<br>تاریخ پذیرش: ۱۴۰۱/۱۲/۰۵  |
| كلمات کلیدی: | حوضه آبریز زیمکان<br>مدلسازی فرسایش خاک<br>روش پتانسیل فرسایش (EPM)<br>روش اصلاح شده MPSIAC (MPSIAC)<br>برآورد بار رسوب GIS ارزیابی مبتنی بر |

## مقدمه

محاسبه میزان فرسایش در یک حوضه آبریز در صورت موجود بودن آمار کافی از دبی و رسوب با به کارگیری روش‌های آماری امکان‌پذیر می‌باشد ولی نبود یا کمبود داده‌ها در زمینه فرسایش خاک و تولید رسوب در بسیاری از حوضه‌های کشور کاربرد روش‌های تجربی را برای برآورد فرسایش خاک الزامی می‌کند. برای مطالعات روی شدت فرسایش یک منطقه روش‌های زیادی مطرح هستند ولی انتخاب روش اصولی و کارآمد در جهت انجام محاسبات دقیق اهمیت زیادی دارد(Hejazi, Ahmadi & Shahabi, 2018). امروزه تلاش‌های قابل توجهی در جهت توسعه مدل‌های فرسایش صورت گرفته تا پیامدهای ناشی از این فرایند را کاهش دهند(Mezbani, Rezaei Moghadam & Hejazi, 2021) کاربردی است تا مدل مناسب با توجه به شرایط حوضه انتخاب شود(Shirzadi, 2009). مقادیر خروجی رسوب از حوضه آبریز به ویژگی‌های زیادی بستگی دارد از جمله می‌توان به نوع خاک، شرایط اقلیمی، طبیعی، فیزیوگرافی حوضه و کاربری اراضی اشاره نمود که در این میان کاربری اراضی بیشترین سهم را در این زمینه دارد(Talebi Khiavi, Zabihi & Mostafazadeh, 2017). از طرفی نوع کاربری اراضی به طور مستقیم با فعالیت انسان در ارتباط است به گونه‌ای که بسته به نوع استفاده‌ای که از زمین انجام می‌گیرد در تضعیف و تشدید مقاومت خاک نقش موثری دارد(Sadeghi, Mostafazadeh & Sadoddin, 2015). مدل‌های متعددی که جهت محاسبه فرسایش و رسوب به کار می‌برند هر کدام معایب و مزایایی دارند و بکارگیری همزمان چند مدل صحت و دقت محاسبات را بالا می‌برد(Guzmán, Barrón & Gómez, 2010). در بیشتر پژوهش‌های انجام شده به دلیل پیچیدگی فرایند فرسایش و کمبود آمار و ایستگاه‌های اندازگیری برای سهولت در کار از روش تجربی استفاده می‌گردد(Rastgoo, Ghahraman, Sanei Nejad, Davary & Khodashenasi, 2006). جهت کاهش اثرات جبران‌ناپذیر فرسایش خاک و اجرای پژوهه‌های حفاظتی از خاک نخستین گام مطالعات اساسی و بنیادی روی شرایط فیزیکی حوضه و نوع خاک و شرایط اقلیمی و واکنش رواناب و الگوی پراکنش کاربری اراضی می‌باشد(Asghari Saraskanrood, Mozaffari & Esfandiari, 2022). در مطالعاتی که روی پارامترهای تاثیرگذار در فرایند فرسایش خاک و تولید رسوب انجام می‌گیرد عامل بهره‌برداری از اراضی نقش کلیدی را در این زمینه ایفا می‌کند(Kassas, 1984). لذا تغییرات کاربری و به زیر کشت بردن سطح زیادی از مراعع و جنگل اثرات جبران‌ناپذیری بر بافت، ساختار و مقاومت خاک خواهد داشت به گونه‌ای که این آثار منفی تا مدت‌ها قابل بازسازی نخواهد بود(Nwaogu, Okeke, Assuah Adu, Babine & Pechanec, 2017). در زمینه فرسایش و رسوب تحقیقات زیادی صورت گرفته و روش‌های زیادی مطرح هستند(Miguel et al., 2011). ولی روش فرسایشی EPM با هدف بررسی شدت فرسایش خاک و اندازگیری رسوب مدلی کارآمد در جهت شناسایی نقاط فرسایش‌پذیر است تا بتوان طرح‌های حفاظتی و آبخیزداری را در منطقه اجرا نمود(Ghazawi, Wali, 2012). اخیراً پژوهشگران زیادی در دنیا با بهره‌گیری از سامانه اطلاعات جغرافیایی(GIS) و تصاویری ماهواره‌ای و با کمک مدل‌های فرسایشی اقدام به برآورد فرسایش و رسوب می‌کنند تا بتوانند مناطق حساس و ضعیف در مقابل فرسایش را شناسایی و کنترل کنند(Nayyeri, Salari & Chardawli, 2021). شناخت نوع فرسایش و علت و مکانیسم به وجود آمدن آن کمک بزرگی به مهار فرسایش و مبارزه با آن می‌کند(Grauso, Fattoruso, Crocetti & Montanari, 2007).

متنوعی در جهت محاسبه کمی فرایند فرسایش وجود دارد. در این میان اگر برای برآورد فرسایش و رسوب یک حوضه چند مدل باهم مورد مقایسه قرار گیرد صحت و دقت نتایج بیشتر نمایان می‌شود و مدلی که با طبیعت همخوانی بالای دارد شناسایی می‌گردد (Sadogh, Hosseinzadeh & Azadi, 2015). امروزه بهره‌گیری از ابزار سنجش از دور و GIS در قالب مدل‌های تجربی برای محاسبه میزان فرسایش و رسوب بیشتر شده تا محاسبات کمی بصورت نقشه‌های رقومی قابل فهم‌تر شود (Hashemi & Arab Khedri, 2008). بر همین اساس مطالعات روی فرسایش خاک که یکی از مشکلات عمدۀ محیطی به شمار می‌آید نسبت به گذشته کامل‌تر و دقیق‌تر شده است (Rahman, Shi & Chongfa, 2009).

فرسایش خاک تهدیدی جدی برای محیط‌زیست و منابع طبیعی و کشاورزی تلقی می‌شود. بر این اساس نیازمند مطالعات گسترده‌ای در این زمینه است تا اقدامات لازم جهت کنترل آن صورت گیرد ولی اجرای طرح‌های مدیریتی و عملیات‌های حفاظتی، بدون اطلاعات زمانی و مکانی امکان‌پذیر نخواهد بود (Prasannakumar, Vijith, Abinod & Geetha, 2012). پیامدهای که فرسایش بر منطقه می‌گذارد قابل جبران نیست، چون حجم زیادی از خاک مرغوب و مفید از بین می‌رود در حالی که برای تولید یک سانتی‌متر خاک مدتی طولانی بالغ بر ۵۰۰ سال زمان نیاز است. بنابراین مهار و کنترل فرسایش از اهمیت زیادی برخوردار است با طرح‌های پیش بینی شده و مدیریت صحیح می‌توان خسارات ناشی از فرسایش خاک را به حداقل ممکن رساند (Morgan & Nearing, 2011). با وجود اینکه مطالعات داخلی و خارجی زیادی روی روش‌های برآورد فرسایش و رسوب انجام گرفته و با توجه به مسائل فوق و مقبولیت و صحت نتایج دو مدل تجربی EMP و MPSIAC در این پژوهش نیز به برآورد فرسایش و رسوب حوضه زمکان پرداخته شد، تا علاوه بر محاسبه کمی فرسایش خاک و تولید رسوب نقاط آسیب‌پذیر شناسایی و اقدامات مدیریتی و حفاظتی انجام گردد.

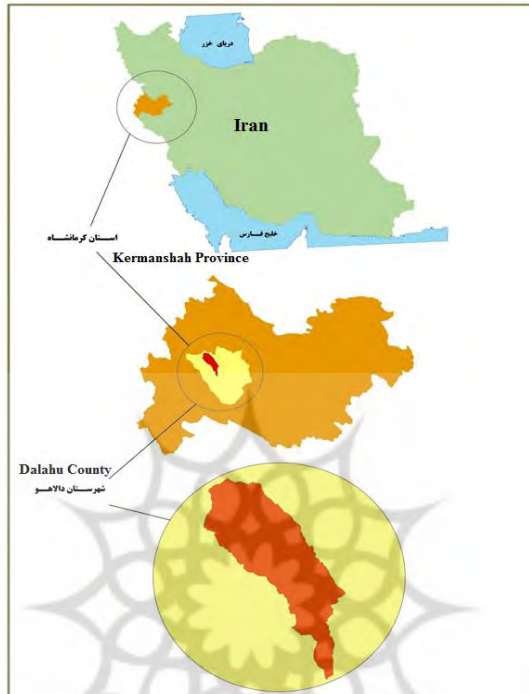
## مواد و روش‌ها

### موقعیت جغرافیایی حوضه رود زیمکان

حوضه رود زیمکان با زمکان در شمال شهرستان دلاهه و غرب استان کرمانشاه قرار گرفته است، زهکشی این حوضه به شکل مستطیلی به مساحت ۲۳۲۴ کیلومترمربع از سمت جنوب شرق به سمت شمال‌غرب جريان پیدا می‌کند (شکل ۱ و ۲). محیط آن برابر با ۳۱۲ کیلومتر می‌باشد. این حوضه از غرب به حوضه پیران و از شمال به حوضه‌های پشت تنگ و حوضه رودخانه لیما محدود می‌شود. حوضه در مختصات جغرافیایی ۴۶ درجه ۴ دقیقه ۳۰ ثانیه تا ۴۶ درجه ۱۱ دقیقه ۸ ثانیه طول شرقی و ۳۴ درجه ۳۵ دقیقه ۴۴ ثانیه تا ۳۴ درجه ۲۲ دقیقه ۵۶ ثانیه عرض شمالی واقع شده است. از جمله مناطق مسکونی در محدوده حوضه ۱۴۹ روستا است که جمعیتی حدود ۳۹۹۷۲ نفر را شامل می‌شود. از جمله روستاهای که بیشترین تمرکز جمعیت را در خود جای داده، می‌توان به روستاهای قوشچی باشی، آسیاب تیوره، ده کهنه، سید باقر و مزرعه رضا علی اشاره کرد. بیشتر فعالیت مردم بومی منطقه روی دامداری، باغداری و کشاورزی دیم و آبی است که به کشت محصولات مانند گندم، ذرت و حبوبات مشغولند.

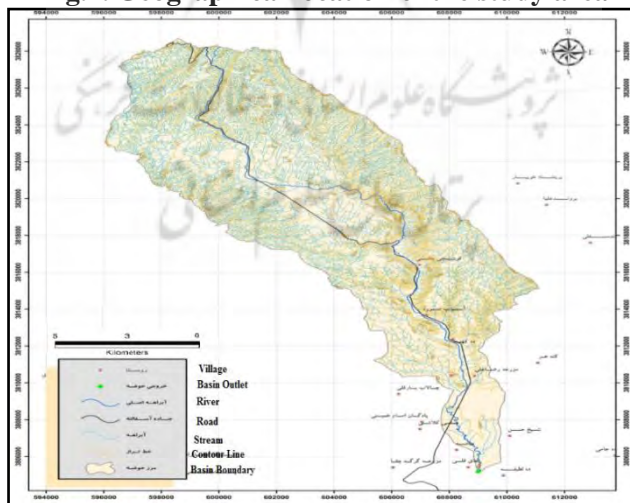
از لحاظ شرایط اقلیمی، حوزه آبریز زمکان در منطقه نیمه مرطوب و معتدل واقع شده است و منشأ عده بارندگی در نواحی مرتفع و کوهستانی می‌باشد. میانگین بارش سالانه برابر ۴۵۰ میلی‌متر و متوسط دمای ماهانه،

بین ۲۸/۲ درجه سانتیگراد در تابستان و تا ۱/۸ درجه سانتیگراد در نوسان است. بنابراین میانگین دمای سالانه ۱۶/۲ درجه سانتیگراد می‌باشد. ولی در مدداد ماه دمای هوا تا موز ۴۲ درجه سانتیگراد بالا و در بهمن ماه تا موز ۱۳- درجه سانتیگراد افت می‌کند. و میانگین ارتفاع حوضه از سطح آبهای آزاد ۱۵۴۴ متر است. رودخانه‌های اصلی منطقه زمکان نام دارد که با طول ۱۲۵ کیلومتر کل مساحت حوضه را زهکشی می‌کند و به روخته سیروان در عراق ختم می‌شود.



شکل ۱- موقعیت جغرافیایی منطقه مورد مطالعه

Fig.1. Geographical location of the study area



شکل ۲- نقشه پایه منطقه مود مطالعه

Fig.2. Drainage network map of the study area

روش‌های انجام پژوهش

انتخاب مدل مناسب با در نظر گرفتن ویژگی‌های هیدرولوژیکی و ژئومورفولوژیکی حوضه، مستلزم ارزیابی دقیق و کاربردی مدل‌های مختلف از طریق مقایسه نتایج آنها با مشاهدات واقعی در یک حوضه آبریز می‌باشد. در این خصوص در پژوهش حاضر از میان مدل‌های موجود، به ارزیابی دو روش EPM و MPSIAC که در سطح جهان و کشور از مقبولیت بیشتری برخورده دارند پرداخته شده و مقادیر به دست آمده با استفاده از دو روش مورد مقایسه قرار گرفت و مدلی که نتایجش به مشاهدات واقعی نزدیکتر بود معرفی گردید، و دردامنه اقدام به تهیه نقشه‌های پایه مورد نیاز گردید این نقشه‌ها شامل نقشه کاربری اراضی، پوشش گیاهی، جهت شبیب، توپوگرافی، جریانات هیدرولوژیکی حوضه، بافت و عمق خاک می‌باشد.

### EPM مدل

در سال ۱۹۸۸ در کنفرانس بین المللی رژیم رودخانه توسط گاوریلیویچ (Gavrilovic, 1988)، جهت تخمین میزان فرسایش و رسوبدهی ارائه گردید و پس از ۴۰ سال تحقیق روی پلاتهای فرسایشی در کشور یوگسلاوی به کار گرفته شد. این مدل با ۴ مشخصه اصلی نتایج مفید و قابل قبولی از میزان فرسایش را برآورد می‌کند جدول (۱). عوامل این مدل در واحدهای مختلف اراضی یا در شبکه‌های ایجاد شده در نقشه‌های با فرمت رستر و با پیکسل‌هایی در ابعاد  $24 \times 24$  متری مورد بررسی قرار گرفته است (Rasouli, 2007).

#### جدول ۱- عوامل روش EPM و نحوه امتیازدهی آنها

Table1- EPM Method Factors and How They Are Scored

| نحوه تعیین امتیاز محاسبه<br>Determine the calculation score                            | علامت<br>Sym. | اجزای مدل<br>Model components                   | شماره<br>Num. |
|--|---------------|---|---------------|
| مشاهدات صحرایی و تفسیر عکس هوایی<br>Field observations and aerial photo interpretation | $\Psi$        | فرسایش<br>Erosion                               | 1             |
| مشاهدات صحرایی و نقشه سنگ شناسی<br>Field observations and lithological mapping         | Y             | حساسی سنگ و خاک<br>Sensitivity of rock and soil | 2             |
| مشاهدات صحرایی و نقشه کاربری اراضی<br>Field observations and landuse mapping           | Xa            | استفاده از زمین<br>Landuse                      | 3             |
| شیب متوسط در هر واحد مطالعاتی<br>Average slope per study unit                          | I             | شیب<br>Slope                                    | 4             |
| $Z=Y.Xa(\Psi + I^{0.5})$   | Z             | شدت فرسایش<br>Erosion intensity                 | 5             |
| بارندگی متوسط سالیانه (mm)<br>Average annual rainfall (mm)                             | H             | بارندگی<br>Rainfall                             | 6             |
| $t=$ Average annual temperature  | T             | دما<br>Temperature                              | 7             |
| $T=((t/10+0.1)^{0.5}$  |               |   |               |

۱. فرسایش حوضه آبریز ( $\Psi$ ): فرسایش حوضه آبریز تحت تاثیر عواملی مانند شبیب، پوشش گیاهی، خاک، سنگ رخنمون و کاربری اراضی قرار دارد. مقادیر این پارامتر در حوضه مورد مطالعه از تحلیل لایه‌های فوق در نرم‌فزار ARC/GIS محاسبه می‌شود.

۲. ضریب استفاده از زمین(Xa): مقادیر این پارامتر بعد از تهیه نقشه پوشش گیاهی که بر مبنای تصاویر ماهواره‌ای ایجاد شده است به دست می‌آید. نقشه پوشش گیاهی با استانداردهای مدل EPM محاسبه و ضریب کاربری اراضی در آن اعمال شد(Gavrilovic, 1988).

۳. حساسیت خاک و سنگ به فرسایش (Y): این پارامتر از ترکیب دو لایه زمین‌شناسی و خاک‌شناسی در محیط ARC/GIS محاسبه شد. و مقدار این پارامتر با توجه به رخنمونهای سنگی در حوضه مورد مطالعه و نمونه‌های خاک، تقسیم بندی گردید.

۴. شیب متوسط حوضه(I): در این پژوهش جهت استخراج پارامتر شیب، ابتدا نقشه توپوگرافی رقومی شده با کمک روش درون‌یابی IDW در محیط GIS به نقشه مدل رقومی ارتفاعی DEM تبدیل شدن و در ادامه نقشه با دستور SLOPE در محیط نرم افزاری، نقشه درصد متوسط شیب استخراج گردید. با توجه به چهار فاکتور محاسبه شده در مرحله قبل (شرايط فرسایش حوضه آبریز، کاربری اراضی، حساسیت خاک و سنگ، شیب متوسط حوضه) مقدار Z یا ضریب شدت فرسایش برای هریک از اجزای واحد اراضی با توجه به رابطه(۱) محاسبه گردید.

$$(1) \quad Z = Y \cdot X_a (J + I^{0.5})$$

با قرار دادن مقدار Z در جدول استاندارد که براساس ضریب شدت فرسایش(Z) تنظیم شده است، کلاس فرسایش برای هر واحد حوضه تعیین می‌گردد. و نقشه فرسایش حوضه در محیط ARC/GIS ترسیم شد. در روش EPM برای تخمین متوسط سالانه رسوب ویژه در حوضه آبریز از رابطه(۲) استفاده می‌شود.

$$(2) \quad W_{SP} = T \cdot H \cdot \pi \cdot Z$$

$W_{SP}$ : برحسب متر مکعب در کیلومتر مربع در سال

H : ارتفاع متوسط بارندگی سالانه در حوضه آبریز بر حسب میلیمتر

T: ضریب درجه حرارت با استفاده از رابطه  $t^{(t/10+0.1)^{0.5}}$

$t$  میانگین درجه حرارت سالانه در حوضه آبریز به درجه سانتیگراد است. برای این منظور جهت تعیین متوسط سالانه تولید رسوب ویژه برای هر یک از واحدهای هیدرولوژیکی محاسبه شد، و سپس مقدار رسوب سالانه حوضه مورد مطالعه با استفاده از رابطه(۳) تعیین گردید.

$$(3) \quad V_P = F \times W_{SP}$$

که در آن  $V_P$  رسوب حوضه برحسب متر مکعب در سال و F مساحت حوضه بر حسب کیلومتر مربع می‌باشد.

### MPSIAC مدل

روش PSIAC در سال ۱۹۶۸ توسط کمیته مدیریت آب در آمریکا برای محاسبات شدت فرسایش خاک و تولید رسوب مناطق خشک و نیمه خشک ارائه شد. این روش در سال ۱۹۸۲ اصلاح شد(Refahi, 2016). در ایران، این مدل در سال ۱۳۵۲ برای نخستین بار در حوزه آبخیز سد دز به اجرا درآمد. که ۹ عامل را برای محاسبه فرسایش و تولید رسوب ارزیابی می‌کند. هر یک از این عوامل، از دیدگاه کمی و کیفی مورد بررسی قرار گرفته‌اند به طوریکه از نظر کیفی دارای پنج درجه و از لحاظ کمی از  $-10$  تا  $+25$  امتیازبندی شده‌اند.

۱. زمین‌شناسی سطحی منطقه(Y1): شناخت ویژگی‌های زمین‌شناسی حوضه برای ارزیابی فرسایش و رسوب‌زاگی دارای اهمیت ویژه‌ای می‌باشد. سنگ‌های سست و نرم معمولاً به سادگی فرسوده شده و نقش مهمی

را در تولید رسوب برعهده دارند. این عامل را با  $Y_1$  نشان می‌دهند. امتیاز آن  $10 - 0$  در نظر گرفته شده است (جدول ۳). در این روش، امتیاز عامل زمین‌شناسی سطحی از رابطه ۴ حاصل می‌شود:

$$Y_1 = X_1 \quad (4)$$

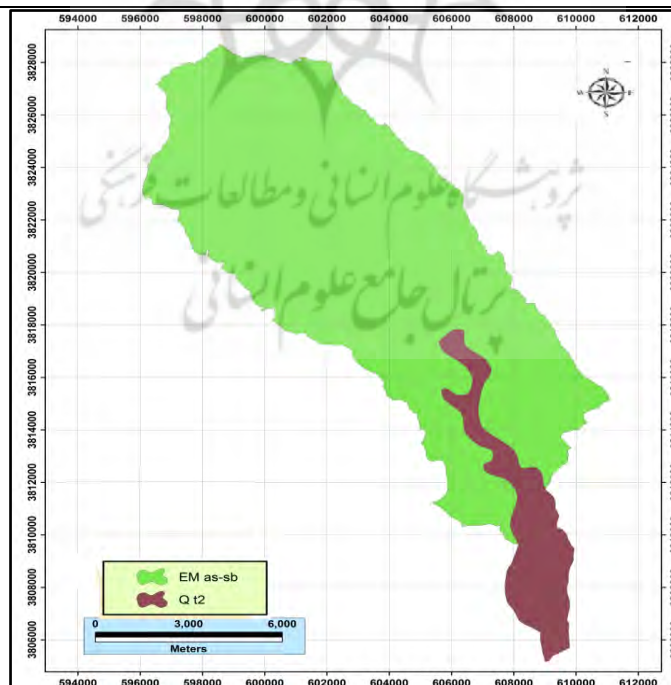
که در آن  $X_1$  امتیاز عامل زمین‌شناسی و  $Y_1$  شاخص فرسایش زمین‌شناسی سطحی است که براساس نوع سنگ، سختی، شکستگی و هوازدگی تعیین می‌شود.

برای تعیین مقدار عامل زمین‌شناسی سطحی، در هر یک از واحدهای هیدرولوژیک، مساحت هر گروه فرسایش مشخص و متوسط مقدار عامل زمین‌شناسی به صورت میانگین وزنی محاسبه گردید. لازم به ذکر است که واحدهای سنگی منطقه مورد مطالعه شامل سازندهای آسماری-شهبازان و پادگانهای آبرفتی می‌باشد (شکل ۳) و بیشتر قسمت‌های مختلف حوضه مورد بررسی عمدتاً در برگیرنده رسوبات دوران چهارم است (جدول ۲).

## جدول ۲- رده‌های کیفی فرسایش‌پذیری در واحدهای سنگ شناسی

Table 2- Qualitative categories of erodibility in lithological units

| توصیف کیفی<br>Qualitative<br>description             | امتیاز وزنی<br>Weighted<br>average score | امتیاز<br>Score | سنگ شناسی<br>Lithology | نماد<br>Symbol | سازند<br>Formation                 |
|--|--|-----------------|------------------------|----------------|------------------------------------|
| فرسایش کم<br>(سنگ‌های مقاوم)<br>Low erosion          | 4  | 4               | Limestone<br>Dolomite  | EMas-sb        | آسماری-شهبازان<br>Asmari-Shahbazan |
| فرسایش زیاد<br>(سنگ‌های فرسایش‌پذیر)<br>High erosion | 8  | 8               | (آبرفت)<br>Alluvium    | Qt2            | واحد<br>Qt2                        |



شکل ۳- نقشه زمین‌شناسی منطقه مورد مطالعه

Fig.3. Geological map of the study area

۲. خاکشناسی(Y2): در این بررسی ضریب فرسایندگی خاک(K) برای محاسبه فاکتور خاکشناسی (Y2) خاک از رابطه ۵ در جدول (۳) استفاده شده است.
۳. آب و هوای(Y3): عامل آب و هوای روی شدت بارش با مدت دوام شش ساعته (در دوره بازگشت دو ساله) در ایستگاههای باران سنجی حوضه مورد مطالعه برآورده شده است. مقادیر این پارامتر با استفاده از رابطه ۶ که در جدول(۳) اشاره شده به دست می‌آید.
۴. رواناب(Y4): در روش MPSIAC برای برآورده امتیاز عامل رواناب از رابطه ۷ در جدول(۳) استفاده می‌شود. لازم به ذکر است، برای مطالعه آبدهی بر اساس تناوب دوره‌های خشک و مرطوب، دوره‌های سیلاب منطقه را بررسی و مقادیر دبی حداکثر لحظه‌ای و رواناب برای حوضه تعیین می‌گردد(شکل ۴).
۵. توپوگرافی(Y5): در این پژوهش جهت استخراج پارامتر شبیب، ابتدا نقشه توپوگرافی رقومی شده ترسیم، سپس در بانک داده‌ها قرار می‌گیرد. در ادامه این خطوط با استفاده از روش درون‌یابی در محیط GIS به نقشه مدل رقومی ارتفاعی DEM تبدیل شد. و نقشه خروجی را با دستور SLOPE در محیط نرم افزار بصورت نقشه متوسط شیب استخراج گردید(شکل ۵). مقادیر این پارامتر با استفاده از رابطه ۸ که در جدول(۳) اشاره شده به دست می‌آید.
۶. پوشش گیاهی(Y6): در روش MPSIC درصد تاج پوشش گیاهی و نقش آن روی فرسایش منطقه مورد محاسبه قرار می‌گردد(شکل ۴). در مطالعات سنجش از دور جهت استخراج درصد تاج پوشش گیاهی از تصاویر ماهواره‌ای استفاده می‌شود. جهت استخراج درصد پوشش گیاهی، شاخص NDVI به دلیل این که همبستگی بالای با تاج پوشش گیاهی دارد. انتخاب شده است. مقادیر این پارامتر با استفاده از رابطه ۹ که در جدول(۳) اشاره شده به دست می‌آید.
۷. کاربری اراضی(Y7): استفاده از زمین و نوع کاربری اراضی مقاومت خاک را در مقابل انواع فرسایش آبی و بادی تحت الشعاع قرار می‌دهد(شکل ۵). و عدم مدیریت صحیح در کاربری زمین روند تضعیف خاک را تشیدید می‌کند. برای تعیین امتیاز این پارامتر از رابطه ۱۰ در جدول(۳) استفاده می‌شود.
۸. وضعیت فعلی فرسایش در سطح حوضه(Y8): در روش MPSIC برای تعیین امتیاز عامل وضعیت فعلی فرسایش، از رابطه ۱۱ در جدول (۳) استفاده می‌شود. تعیین این عامل در حوضه با کمک اطلاعات مربوط به داده‌های صحرایی و با توجه به نوع فرسایش در سطح حوضه آبریز به دست می‌آید.
۹. فرسایش آبراهه ای(رودخانه‌ای) و انتقال رسوب(Y9): برای تعیین امتیاز این عامل از رابطه ۱۲ در جدول(۳) استفاده شده است.

### محاسبه درجه فرسایش و رسوبدهی در روش MPSIAC

پس از تعیین مجموع امتیازات عوامل ۹ گانه، جهت برآورد میزان فرسایش و رسوب سالانه حوضه از رابطه ۱۳ استفاده گردید(Moghim & Mahmoodi, 2005).

$$Q_s = 3877 e^{0.0353 R} \quad (13)$$

Q<sub>s</sub>: میزان رسوبدهی سالانه بر حسب متر مکعب در کیلومتر، این ضریب، معیار محاسبه رسوب ویژه ورسوب سالانه قرار گرفته است.

R : درجه رسوبدهی یعنی مجموع امتیازات عوامل ۹ گاه  
e : عدد نپر برابر ۲/۷۸

**جدول ۳- عوامل مؤثر در فرسایش خاک و تولید رسوب با امتیازات و روابط مربوطه در مدل MPSIAC**

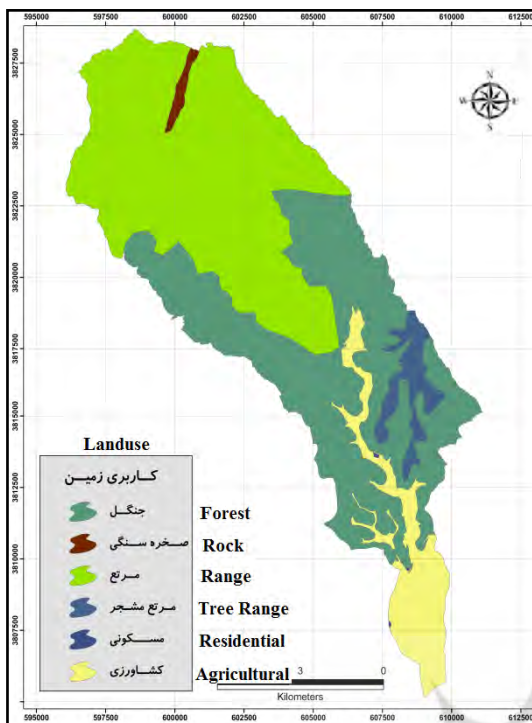
**Table 3- Factors affecting soil erosion and sediment production with corresponding scores and relationships in the MPSIAC model (Esmali Ouri & Abdollahi, 2010)**

| ردیف | عوامل موثر در فرسایش و تولید رسوب | شرح پارامترها  | نحوه محاسبه امتیاز در روش MPSIAC              |
|------|-----------------------------------|--|---|
| ۱    | زمین شناسی                        | X <sub>1</sub> : امتیاز حساسیت سنگ به فرسایش (+۰-۱۰)                                     | Y <sub>1</sub> = X <sub>1</sub> رابطه ۴       |
| ۲    | Soil                              | K: عامل فرسایش پذیری خاک در معادله چهانی   | Y <sub>2</sub> = 16.67k رابطه ۵               |
| ۳    | آب و هوا                          | X <sub>3</sub> : بارندگی ۶ ساعته با دوره بازگشت دو ساله                                  | Y <sub>3</sub> = 0.2 X <sub>3</sub> رابطه ۶   |
| ۴    | Runoff                            | R: ارتفاع روان آب سالانه و Qp: دمی ویژه سالانه (mm) (m <sup>3</sup> /s.km <sup>2</sup> ) | Y <sub>4</sub> = 0.006 R +10 QP رابطه ۷       |
| ۵    | پستی و بلندی                      | S: درصد شبیب   | Y <sub>5</sub> = 0.33 S رابطه ۸               |
| ۶    | Vegetation                        | P <sub>b</sub> : درصد اراضی لخت  | Y <sub>6</sub> =0.2 P <sub>b</sub> رابطه ۹    |
| ۷    | Landuse                           | P <sub>c</sub> : درصد تاج پوشش کیا   | Y <sub>7</sub> =20-0.2P <sub>c</sub> رابطه ۱۰ |
| ۸    | وضعیت فعلی فرسایش                 | SSF: امتیاز عامل سطحی خاک در مدل B.L.M   | Y <sub>8</sub> =0.25 SSF رابطه ۱۱             |
| ۹    | River Erosion                     | F.G: امتیاز فرسایش خنده‌قی در مدل B.L.M  | Y <sub>9</sub> =1.67 SS.F.G رابطه ۱۲          |

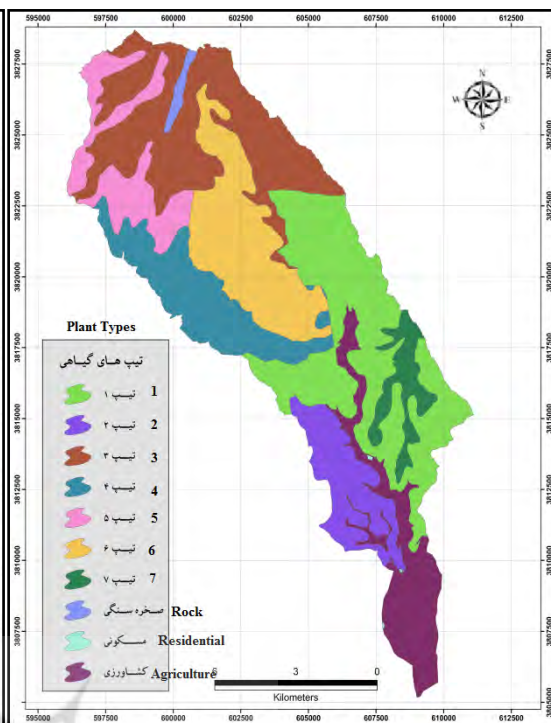
**جدول ۴- کلاس بندی فرسایش و رسوب با روش MPSIAC**

**Table 4- Erosion and sediment classification using the MPSIAC method**

| کلاس رسوبدهی و فرسایش | ردۀ کیفی فرسایش پذیری | تولید رسوب سالانه | نمرات نشان دهنده شدت فرسایش پذیری | Scores indicating the severity of erosion |
|-----------------------|-----------------------|-------------------|-----------------------------------|---|
| V                     | خیلی زیاد             | > 1012            | Very High                         | 8 < X ≤ 10                                |
| IV                    | زیاد                  | 520 - 1012        | High                              | 6 < X ≤ 8                                 |
| III                   | متوسط                 | 196 - 520         | Mdium                             | 4 < X ≤ 6                                 |
| II                    | کم                    | 95- 196           | Low                               | 2 < X ≤ 4                                 |
| I                     | خیلی کم               | < 95              | Very low                          | 0 < X ≤ 2                                 |



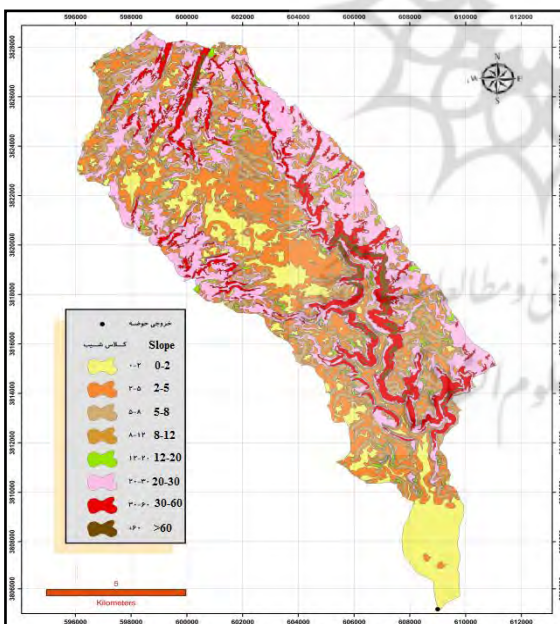
شکل ۵- نقشه پوشش گیاهی



شکل ۴- نقشه کاربری اراضی

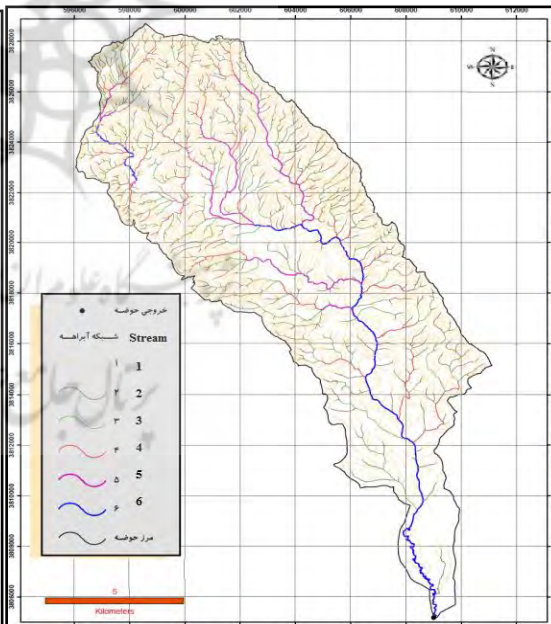
Fig.5. Vegetation map

Fig.4. Land use map



شکل ۷- نقشه شیب

Fig.7. Slope map



شکل ۶- نقشه شبکه آبراهه

Fig.6. Drainage Network map

جدول ۵- میانگین امتیاز اجزای مدل‌های EPM و MPSIAC در کل حوضه

Table 5- Average score of EPM and MPSIAC model components in the basin

| MPSIAC   | EPM   | مدل Model   |
|--|---|-------------|
| میانگین امتیاز<br>Average score  | میانگین امتیاز<br>Average score                                       | ردیف<br>Row |
| 9.10<br>سنگ شناسی<br>Lithology   | 0.58<br>شرایط فرسایش<br>erosion conditions                            | 1           |
| 10.14<br>خاک<br>Soil   | 0.1<br>ضریب حساسیت سنگ و خاک<br>Rock and soil sensitivity coefficient | 2           |
| 10.12<br>اب و هوای<br>Climate  | 0.47<br>ضریب استفاده از زمین<br>Land use coefficient                  | 3           |
| 13.02<br>رواناب<br>Runoff  | 0.16<br>شیب<br>Slope  | 4           |
| 23.16<br>پستی بلندی<br>Topography  | 0.55<br>ضریب شدت فرسایش<br>Erosion intensity coefficient              | 5           |
| 12.34<br>پوشش سطح زمین<br>Land surface cover   | 362.7<br>بارندگی<br>Rainfall  | 6           |
| 17.38<br>استفاده از زمین<br>Landuse  | 16.3<br>دما<br>Temperature  | 7           |
| 19.67<br>وضعیت فعلی فرسایش در سطح حوضه<br>Current status of erosion at the basin level | -<br>-  | 8           |
| 33.32<br>فرسایش رودخانه<br>River erosion   | -<br>-  | 9           |

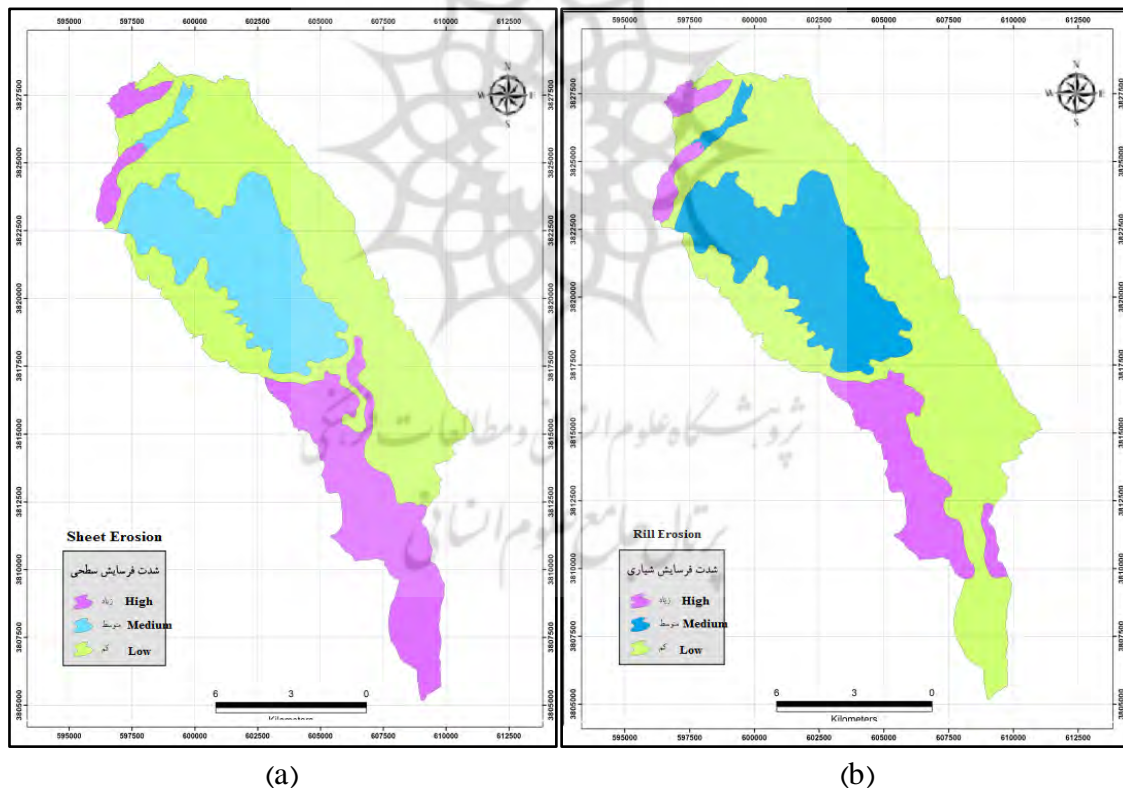
## نتایج و بحث

فرسایش خاک در کشورهای در حال توسعه روندی افزایشی دارد. تشدید فرسایش باعث از بین رفتن خاک در بخش کشاورزی، کاهش ظرفیت تولیدی خاک و آلودگی آب‌های سطحی در اثر رسوب‌گذاری می‌شود. اندازگیری مقادیر دقیق فرسایش و رسوب به دلایل اقتصادی، فنی، حفاظتی در تمامی نقاط امکان‌پذیر نیست. از این رو مناسب‌ترین راهکار، پیش‌بینی یا محاسبه کمی فرسایش و رسوب است. که لازمه‌ی آن آگاهی از مکانیزم‌های فرسایش و عوامل مؤثر بر آن است. از طرفی انتخاب مدل مناسب با شرایط منطقه مستلزم ارزیابی دقیق و کاربردی مدل‌های مختلف از طریق مقایسه نتایج حاصل از بکارگیری آن‌ها به ضریب رسوبدهی واقعی در یک حوضه آبریز می‌باشد. براین اساس، در این پژوهش برآورد فرسایش و رسوب حوضه زمکان با استفاده از دو مدل EPM و MPSIAC مورد پردازش قرار گرفت و خروجی این دو مدل مقایسه، و میزان نزدیک بودن خروجی هر کدام از مدل‌ها به مشاهدات واقعی حوضه مشخص شد(شکل ۵) و در نهایت موثرترین و کارترین مدل معرفی گردید.

در نتایج برآورد پارامترهای مورد بررسی در مدل EPM مشخص شد که بر اساس عامل حساسیت خاک و سنگ به فرسایش، سنگ‌های نامقاوم در بخش‌های پایینی حوضه متوجه‌تر هستند. و شدت ضریب فرسایش

در این نواحی بیشتر مشاهده می‌شود و تغییر کاربری زمین موجب شده تا مساحت بیشتری از حوضه تحت تاثیر هدر رفت خاک قرار بگیرد در این بخش ضریب استفاده از زمین بیش از ۰/۴۷ می‌باشد. که ضعیف بودن پوشش گیاهی در این ناحیه را نشان می‌دهد. و مقادیر رسوب محاسبه شده با این روش ۳۶۲۴/۷۲ تن در سال تخمین زده شده است. مقدار Z به دست آمده برای این حوضه بیش از ۱ است که نشان دهنده فرسایش‌پذیری شدید این حوضه می‌باشد.

نتایج بررسی مدل MPSIC و تلفیق و تحلیل ۹ پارامتر این روش، مشخص شد که این مدل همانند مدل EPM نشان می‌دهد که تقریباً بیش از ۶۰ درصد حوضه آبریز در طبقه فرسایش‌پذیر و تولید رسوب قرار دارد. با مقایسه نتایج این پژوهش و مطالعات پیشین، مشخص شد که روش MPSIC نتایج دقیق‌تر و نزدیک‌تر به واقعیت را نسبت به مدل EPM به دست می‌آورد(شکل ۸). دلیل واضح این موضوع این است که روش MPSIC پارامترهای بیشتری را در بر می‌گیرد و فاکتورهای بیشتری را در محاسبه فرسایش دخالت می‌دهد. براین اساس برای مطالعات تفضیلی استفاده بهتری دارد. ولی می‌توان گفت مدل EPM در مطالعات اجمالی فرسایش خاک موفقیت آمیزتر عمل می‌کند. و از آنجاییکه به آمار خاصی نیز نیاز ندارد برای حوضه‌های بدون آمار براحتی قابل اجراست. همچنین با استفاده از قابلیت نرم‌افزار Arc/GIS به خوبی می‌توان میزان همخوانی و توافق بین طبقات وضعیت فرسایش حاصله از دومدل را با هم مقایسه نمود. نتایج این مقایسه در جدول (۶) درج شده است.



(b) MPSIAC (a) EPM شکل ۸- نقشه شدت فرسایش حوضه زیمکان با مقایسه دوروش

Fig.8. Erosion intensity map of the Zimkan basin comparing EPM (a) and MPSIAC (b)

جدول ۶- مقایسه مقادیر مشاهده‌ای و برآورد شده با دو مدل EPM و MPSIAC

**Table 6- Comparison of observed and estimated values with the two models MPSIAC and EPM**

| رسوب کل<br>Total Sediment<br>(ton/ha/year) | رسوب ویژه<br>Specific Sediment<br>(ton/ha/year) | فرسایش کل<br>Total Erosion<br>(ton /year) | فرسایش ویژه<br>Specific Erosion<br>(ton/ha/year) | فاکتور / واحد<br>Factor/Unit     |
|--|---|---|--|----------------------------------|
| 2461.63                                    | 2.32  | 5142.9                                    | 2.81   | MPSIAC                           |
| 3624.72                                    | 2.74  | 6401.2                                    | 3.68   | EPM                              |
| 2559.11                                    | 2.38  | 5261.9                                    | 3.11   | مقدار مشاهدهای<br>Observed value |

### نتیجه‌گیری

یکی از مسائل جدی در بحث مدیریتی حوضه‌های آبریز در سطح ملی و جهانی فرسایش است که پیامدهای آن به صورت مستقیم در کاهش حاصلخیزی و هدر رفت خاک و پرشدن مخازن سد و کاهش کیفیت آب و به صورت غیر مستقیم در کاهش روند چرخه توسعه کشور می‌توان دید. لازمه برنامه‌ریزی و اتخاذ تصمیمات اصولی جهت مهار و کنترل فرسایش، آگاهی از میزان فرسایش در یک حوضه آبریز و شناسایی نقاط بحرانی و اولویت-بندی آنها جهت اجرای اعمالیات‌های حفاظتی و اقدامات مدیریتی در سطح حوضه الزامی است. در این پژوهش هدف ارزیابی خطر فرسایش خاک و همچنین پنهان‌بندی مناطق حساس به فرسایش در حوضه آبریز زیمکان با استفاده از دو مدل MPSIAC و EPM در چارچوب سیستم اطلاعات جغرافیایی (Arc GIS) و با کمک فناوری استجش از دور انجام گردید. در گام نخست هریک از فاکتورهای مدل‌های مورد بحث جهت برآورد مقادیر فرسایش در محیط Arc/GIS مورد تحلیل و محاسبه قرار گرفت. و توزیع مکانی فرسایش در بخش‌های مختلف حوضه به دست آمد. در نتایج حاصله مشخص شد که در هر دو روش MPSIAC و EPM، بیشترین میزان فرسایش در بخش‌های پایین دست جنوب و جنوب‌غرب حوضه و کمترین مقادیر فرسایش مربوط به بخش‌های شمال شرق حوضه می‌باشد. میزان فرسایش ویژه و کل در حوضه مورد مطالعه با استفاده از دو مدل MPSIAC و EPM به ترتیب  $3/68, 2/81$  تن در هکتار در سال  $5142/9, 6401/2$  تن در سال برآورد گردید. در گام بعدی با تلفیق لایه‌های مدل فرسایشی حوضه مورد مطالعه از لحاظ فرسایش پذیری به سه رده فرسایشی کم، متوسط و زیاد طبقه‌بندی شد. با وجود شرایط اقلیمی مساعد در منطقه و پوشش مناسب جنگل و مرتع حوضه تا حدودی خاک در مقابل ریزش‌های جوی شدید محافظت شده است. ولی اقدامات انسان و تغییر کاربری و به زیر کشت بردن مراتع ضعیف جهت کشت دیم و تمرکز مناطق مسکونی در بخش‌های پایین دست حوضه، مقادیر فرسایش و هدر رفت خاک را در این نواحی بیشتر از نقاط دیگر بالا برده است. در تحلیل‌های انجام شده روی دو مدل مذکور مشخص شده که تفالت ناچیزی بین میزان رسوب محاسبه شده در روش MPSIAC که معادل  $2461/63$  تن در هکتار در سال می‌باشد. با مقدار رسوب مشاهدهای که معادل  $2559/11$  تن در هکتار در سال است وجود دارد. این در حالی است که این اختلاف در مدل EPM بیشتر مشاهده می‌شود. و همچنین کلاس فرسایش کم بیشترین مساحت حوضه را به خود اختصاص داده است که حدوداً  $58$  درصد مساحت را دارا می‌باشد و کلاس فرسایش زیاد و متوسط جمعاً مساحتی حدود  $42$  درصد حوضه را شامل می‌شود. همچنین مقادیر رسوب ویژه و سالانه در دو مدل MPSIAC و EPM به ترتیب برابر با  $2/32, 2/74$ ،  $2/72, 2461/63$  تن در هکتار در سال و  $3624/72$ ،

تن در سال می‌باشد. که با این وجود وضعیت حوضه را در شرایط شدیدی از لحاظ هدر رفت خاک نشان می‌دهد. لذا شناسایی نقاط بحرانی و ضعیف در مقابل فرسایش از جمله کاربردهای مهم طبقه بندی فرسایش خاک به حساب می‌آید. بر همین اساس مدیریت صحیح در بخش کشاورزی و بالابردن آگاهی مردم بومی منطقه دراستفاده از خاک و انجام عملیات حفاظتی و آبخیزداری در سطح حوضه در اولویت قرار دارد.

## References

- Asghari Saraskanrood, S., Mozaffari, H., & Esfandiari, F. (2022). Modeling the Erosion and Sedimentation Rate of Sojasrood River before and after Construction of Golaber Dam with Machine Learning Algorithms. *Environmental Erosion Research Journal*, 12(2), 172-204. [In Persian] <https://dor.isc.ac/dor/20.1001.1.22517812.1401.12.2.12.9>
- Esmali Ouri, A., & Abdollahi, K. (2010). *Watershed management and soil conservation*. Ardabil: Mohaghegh Ardabili Publications. [In Persian]
- Gavrilovic, Z. (1988). Use of an Empirical Method(Erosion Potential Method) for Calculating Sediment Production and Transportation in Unstudied or Torrential Streams. In *International Conference on River Regime. Hydraulics Research Limited, Wallingford, Oxon UK*. 411-422.
- Ghazawi, R., Wali, A. A., Maghami, Y., Abdi, Z., & Sharifi, S. (2012). Comparison of EPM, MPSIAC and PSIAC models in estimating erosion and sedimentation using GIS. *Geography and development*, 10(27), 117-126. [In Persian] <http://dx.doi.org/10.22111/GDIJ.2012.488>
- Grauso, S., Fattoruso, G., Crocetti, C., & Montanari, A. (2007). A spatially distributed analysis of erosion susceptibility and sediment yield in a river basin by means of geomorphic parameters and regression relationships. *Hydrology and Earth System Sciences Discussions*, 4(2), 627-654. <http://dx.doi.org/10.5194/hessd-4-627-2007>
- Guzmán, G., Barrón, V., & Gómez, J. A. (2010). Evaluation of magnetic iron oxides as sediment tracers in water erosion experiments. *Catena*, 82(2), 126-133. <https://doi.org/10.1016/j.catena.2010.05.011>
- Hashemi, S. A. A., & Arab Khedri, M. (2008). Evaluation of EPM Model by Sediment Measurement in Reservoirs of Small Dams. *Journal of Crop Production and Processing*, 11(42), 345-355. [In Persian] <http://dorl.net/dor/20.1001.1.22518517.1386.11.42.28.7>
- Hejazi, A., Ahmadi, A., & Shahabi, H. (2018). Estimates of erosion amount and sediment production in the Kangir watershed in Ilam Province using E.P.M model. *Journal of Natural Environmental Hazards*, 7(16), 1-22. [In Persian] [https://journals.usb.ac.ir/article\\_3628.html](https://journals.usb.ac.ir/article_3628.html)
- Kassas, M. (1984). The global biosphere: Conservation for survival. *World Futures: Journal of General Evolution*, 19(3-4), 209-222. <https://doi.org/10.1080/02604027.1984.9971981>
- Mezbani, M., Rezaei Moghadam, M. H., & Hejazi, A. (2021). Assessment of soil erosion risk in land uses using Revised Universal Soil Loss Equation (Case Study: Sikan Basin). *Journal of Geography and Environmental Hazards*, 10(1), 41-63. [In Persian] <https://doi.org/10.22067/geoeh.2021.67238.0>
- Miguel, P., Samuel-Rosa, A., Dalmolin, R. S. D., PEDRON, F., Bueno, J. M. M., & Balbinot, A. (2011). The USLE model for estimating soil erosion in complex topography areas. *Anais*

- XV Simpósio Brasileiro de Sensoriamento Remoto-SBSR, 85, 9227-9230. <http://marte.sid.inpe.br/col/dpi.inpe.br/marte/2011/07.07.14.41/doc/p1441.pdf>
- Moghimi, E., & Mahmoodi, F. (2005). *The research method of Naural Geography*. Tehran: Ghomes. [In Persian]
- Morgan, R. P. C., & Nearing, M. A. (2011). *The future role of information technology in erosion modeling*. Hand Book of Erosion Modeling.
- Nayyeri, H., Salari, M., & Chardawli, Z. (2021). Prioritization of Linear Erosion Using Morphometric and Geomorphological Indicators Case Study: Gheshlagh Watershed, Sanandaj West of Iran. *Hydrogeomorphology*, 8(28), 191-214. [In Persian] <https://doi.org/10.22034/hyd.2021.47623.1601>
- Nwaogu, C., Okeke, O. J., Assuah Adu, S., Babine, E., & Pechanec, V. (2017). Land use—Land cover change and soil-gully erosion relationships: A study of Nanka, South-Eastern Nigeria using geoinformatics. In *Proceedings of GIS Ostrava*. Cham: Springer International Publishing, 305-319.
- Prasannakumar, V., Vijith, H., Abinod, S., & Geetha, N. J. G. F. (2012). Estimation of soil erosion risk within a small mountainous sub-watershed in Kerala, India, using Revised Universal Soil Loss Equation (RUSLE) and geo-information technology. *Geoscience frontiers*, 3(2), 209-215. <https://doi.org/10.1016/j.gsf.2011.11.003>
- Rahman, M. R., Shi, Z. H., & Chongfa, C. (2009). Soil erosion hazard evaluation—an integrated use of remote sensing, GIS and statistical approaches with biophysical parameters towards management strategies. *Ecological Modelling*, 220(13-14), 1724-1734. <http://dx.doi.org/10.1016/j.ecolmodel.2009.04.004>
- Rasouli, A. A. (2007). *An analytic approach to GIS technology*. Tabriz: University of Tabriz. [In Persian]
- Rastgoo, S., Ghahraman, B., Sanei Nejad, H., Davary, K., & Khodashenasi, S. R. (2006). Estimation of Erosion and Sedimentation of Tang-e-Kenesht Basin with Empirical Models of MPSIAC and EPM Using GIS. *Journal of Water and Soil Science*, 10(1), 91-105. [In Persian] <http://dorl.net/dor/20.1001.1.24763594.1385.10.1.7.2>
- Refahi, H. (2016). *Water erosion and its control*. Tehran: University of Tehran. [In Persian]
- Sadeghi, S. H., Mostafazadeh, R., & Sadoddin, A. (2015). Response of Sedimentgraphs and Sediment Rating Loops to Land Use Type and Spatial Pattern. *Watershed Engineering and Management*, 7(1), 15-26. [In Persian] <https://doi.org/10.22092/ijwmse.2015.100900>
- Sadogh, S. H., Hosseinzadeh, M. M., & Azadi, F. (2015). Determining the Erosion in Kahman Drainage Basin Using EPM, BLM and Fargas Models. *Hydrogeomorphology*, 2(2), 137-154. [In Persian] <https://dor.isc.ac/dor/20.1001.1.23833254.1394.2.2.8.7>
- Shirzadi, H. (2009). *Landslide potential on the new road from Sanandaj to Marivan using the AHP model*. Master's thesis, University of Tehran. [In Persian]
- Talebi Khiavi, H., Zabihi, M., & Mostafazadeh, R. (2017). Effects of Land-use Management Scenarios on Soil Erosion Rate using GIS and USLE Model in Yamchi Dam Watershed, Ardabil. *Journal of Water and Soil Science*, 21(2), 221-234. [In Persian] <http://dx.doi.org/10.18869/acadpub.jstnar.21.2.221>